

КАСКАДНО-ЛАВИННАЯ ГЕНЕРАЦИЯ ЭЛЕКТРОН-ДЫРОЧНЫХ ПАР В КВАНТОВЫХ ЯМАХ ТИПА II

Е. Ю. Перлин, А. В. Иванов, Р. С. Левицкий*

*Государственный оптический институт им. С. И. Вавилова
199034, Санкт-Петербург, Россия*

Поступила в редакцию 10 июня 2002 г.

Показано, что с помощью механизма фотонной лавины можно осуществить генерацию неравновесных электрон-дырочных пар слабым ИК-светом с энергией кванта, в 3–5 раз меньшей ширины запрещенной зоны полупроводника. Для реализации данного механизма предлагается использовать гетероструктуру типа II с глубокими квантовыми ямами. Эффект фотонной лавины в рассматриваемой модели обусловлен совокупностью каскада одно- и двухфотонных переходов, а также переходов оже-типа.

PACS: 42.50.Hz, 42.65.Sf, 78.67.De

1. ВВЕДЕНИЕ

Процессы генерации сильным низкочастотным светом неравновесных электрон-дырочных пар (ЭДП) в полупроводниках и диэлектриках достаточно подробно изучены (см., например, [1]). К числу этих процессов относятся межзонное туннелирование в сильном электромагнитном поле, многофотонные межзонные переходы, каскадные переходы через локальные уровни в запрещенной зоне и лавинная генерация пар. В случае лавинного механизма свободные носители (электроны или дырки) должны обладать кинетической энергией, достаточной для рождения новой ЭДП. Приобрести такую энергию они могут в поле лишь очень сильной электромагнитной волны за счет каскада непрямых внутризонных переходов, вероятности которых быстро убывают с ростом частоты света ω . Промежуточное положение между «обычной» многофотонной и лавинной генерацией ЭДП занимают многофотонные процессы оже-типа [2, 3]. В этом случае основная часть энергии, необходимой для рождения ЭДП, поступает за счет поглощения нескольких фотонов, и лишь остаток — за счет малой по сравнению с шириной запрещенной зоны E_g кинетической энергии разогретого светом свободного электрона или дырки. Для всех перечисленных выше процессов генерация сколько-нибудь

значительного количества ЭДП с энергией, большей $3\hbar\omega$, оказывается возможной лишь при интенсивностях света $j \gtrsim 10^9$ Вт/см². Сказанное относится и к многофотонной генерации ЭДП в системах с квантовыми ямами (КЯ), хотя в таких системах скорость генерации убывает с ростом числа фотонов, участвующих в элементарном акте перехода, медленнее, чем в объемных материалах [4]. Мы здесь исключаем из рассмотрения излучение дальнего ИК-диапазона, для которого в ряде случаев велики вероятности переходов с участием большого числа фотонов [5–7], и считаем, что частота света велика по сравнению с энергиями колебательных возбуждений кристалла.

В настоящей работе предлагается новый эффективный механизм, позволяющий генерировать большое число неравновесных ЭДП с энергией возбуждения около $(3–5)\hbar\omega$ при умеренных интенсивностях длинноволнового света $j \sim 10^4–10^6$ Вт/см². Для реализации этого механизма предлагается использовать полупроводниковую гетероструктуру типа II с глубокими квантовыми ямами. Рассматриваемая модель включает в себя каскад одно- либо двухфотонных переходов, а также переходов оже-типа, обуславливающих, в совокупности, эффект фотонной лавины.

Начиная с работы [8], использование фотонной лавины стало одним из наиболее эффективных способов возбуждения коротковолновой люминесцен-

*E-mail: smperlin@online.ru

ции с помощью длинноволновой накачки. До настоящего времени эффект фотонной лавины наиболее интенсивно изучался для систем примесных редкоземельных ионов (см., например, [8–14]). Поясним механизм фотонной лавины на примере простейшей трехуровневой схемы. Обозначим основное и два возбужденных состояния редкоземельных ионов как 1, 2 и 3. Состояние 2 обычно считается метастабильным. В отсутствие накачки заполнено только состояние 1. Пусть частота накачки ω близка к частоте перехода ω_{32} между состояниями 2 и 3, но далека от резонанса с частотой $\omega_{21} < \omega_{32}$ перехода между состояниями 1 и 2. При малых интенсивностях света j в системе ничего не происходит, так как могли бы осуществляться лишь оптические переходы $2 \rightarrow 3$ между незаполненными состояниями. При увеличении j ситуация меняется. Пусть один из редкоземельных ионов каким-либо образом оказывается в состоянии 2. Поглощая квант $\hbar\omega$, он переходит в состояние 3. За счет кросс-релаксационного механизма ион возвращается из состояния 3 в состояние 2, при этом один из соседних редкоземельных ионов возбуждается из основного состояния 1 в состояние 2. Таким образом, в состоянии 2 оказываются уже два иона. Каждый из них, в свою очередь, может участвовать в таких же процессах и т. д. В результате в состоянии 2 накапливается много электронов на различных ионах, возникает сильное поглощение на переходах $2 \rightarrow 3$ и, соответственно, высокая заселенность на уровне 3. При этом возможна люминесценция на переходе $3 \rightarrow 1$ на частоте $\Omega > \omega$. Ключевую роль в эффекте фотонной лавины играет конкуренция между релаксационными потерями электронов в состоянии 2 и накоплением электронов в этом состоянии благодаря процессам поглощения света и кросс-релаксационного переноса возбуждения. Характерными свойствами эффекта фотонной лавины являются а) четко выраженный пороговый характер явления — при $j \approx j_{th}$ скачком увеличиваются заселенности возбужденных состояний и поглощение света ω ; б) резкое возрастание времени τ_{eq} установления квазиравновесного распределения электронов в области пороговых интенсивностей света j_{th} . Значения j_{th} убывают с ростом концентрации редкоземельных ионов. Пороговый характер эффекта фотонной лавины позволил дать анализ этого явления в терминах теории фазовых переходов второго рода Ландау [11].

В последнее десятилетие был предложен и практически реализован ряд различных схем лавинной ир-конверсии в примесных системах (подробную библиографию см. в [11, 12]). В частности, в [14] рас-

смотрена весьма эффективная лавинно-каскадная схема ир-конверсии в восьмиуровневой модели ионов Tm^{3+} в YLF, позволяющей получать излучение с длиной волны $\lambda \sim 0.29$ мкм при накачке с $\lambda = 1.11$ мкм или $\lambda = 0.649$ мкм.

Типичные времена τ_{eq} установления квазиравновесного распределения в электронной системе редкоземельных ионов при эффекте фотонной лавины составляют 1–100 мс при пороговых плотностях энергии накачки, необходимых для включения лавинного механизма, $E_{sw} \sim 0.1–10$ мДж/мкм². Столь медленное протекание эффекта фотонной лавины в системах редкоземельных ионов, естественно, ограничивает круг возможностей практического использования этого явления в оптоэлектронике. В этой связи в работах [15, 16] была предложена полупроводниковая система с легированными квантовыми ямами, где переключение в режим лавинной ир-конверсии может осуществляться за значительно более короткое время с затратой меньшей энергии. Преимущества такой системы обусловлены, с одной стороны, большими значениями сил осцилляторов для переходов между подзонами размерного квантования и, с другой стороны, короткими временами релаксации в электронной системе квантовых ям. Роль, которую в примесной системе играют межионные кросс-релаксационные переходы, в легированной квантовой яме выполняют внутрияямные межподзонные переходы оже-типа. В системе, рассмотренной в [15, 16], сохраняются такие особенности эффекта фотонной лавины как пороговый характер процесса и резкое увеличение времен τ_{eq} при интенсивностях накачки, близких к пороговым значениям. Фотоиндуцированная динамика в легированной квантовой яме описывается в [15, 16] системой нелинейных уравнений баланса для заселенностей трех нижних подзон 1, 2 и 3 (резонансные оптические переходы идут между подзонами 2 и 3). Анализ этих уравнений показал, что система обладает двумя стационарными точками — стабильным узлом и нестабильным узлом. При бифуркационном значении интенсивности света $j = j_{th}$ эти две стационарные точки вырождаются в одну. В случае, когда вероятность W_A оже-процесса, при котором в результате столкновения электрона из подзоны 3 с электроном из подзоны 1 оба переходят в подзону 2, удается представить в виде $W_A \approx \gamma_A n_1 n_3$, имеем [16]

$$j_{th} \approx \frac{W_{21}(n_0 \gamma_A + W_{31} + W_{32})}{\sigma_{23}(n_0 \gamma_A - W_{21} - W_{32})}, \quad (1)$$

где n_0 — полная (двумерная) концентрация носителей в квантовой яме, W_{ij} — скорости релакса-

ционных переходов между i -й и j -й подзонами, σ_{ij} — сечения поглощения света на переходе между i -й и j -й подзонами. Формула (1) справедлива при $n_0\gamma_A > W_{ij}$, $\sigma_{12} = 0$. При конечных, но малых по сравнению с σ_{23} , значениях σ_{12} (формальная) бифуркационная интенсивность j_{th} оказывается комплексной: $\tilde{j}_{th} = j'_{th} + ij''_{th}$. Однако $j''_{th} \ll j'_{th}$ для актуальных значений σ_{ij} , W_{ij} и n_0 . Поэтому при увеличении j вблизи j_{th} имеет место резкое возрастание квазиравновесных значений n_2 и n_3 и уменьшение n_1 . При увеличении σ_{12} изменение заселенности n_i вблизи порога становится менее резким. Для времени τ_{eq} при $j = j_{th}$ в [16] получено выражение

$$\tau_{eq} \sim \frac{1}{2W_{21}} \sqrt{\frac{n_0\gamma_A\sigma_{23}}{\sigma_{12}(W_{21} + 2W_{31} + W_{32})}}. \quad (2)$$

Видно, что τ_{eq} увеличивается с уменьшением скорости прихода электронов в состояние 2, где их количество может лавинообразно возрастать.

Предлагаемая в настоящей работе схема эффекта фотонной лавины в системе с квантовыми ямами типа II (см. разд. 2) существенно отличается от рассмотренной в [15, 16] и позволяет при умеренных интенсивностях накачки получить люминесценцию с длиной волны, в 3–5 раз большей, чем у возбуждающего света. При этом энергия переключения $E_{sw} \sim 1\text{--}10 \text{ пДж}/\text{мкм}^2$, т. е. на 4–5 порядков ниже, чем в системе редкоземельных ионов. Заметим, что строгое рассмотрение предложенной схемы сопряжено с весьма значительными трудностями. Тем не менее есть основания рассчитывать на то, что в рамках принятого в работе максимально упрощенного подхода удается получить качественную картину процесса, основные особенности которой сохранятся и при более детальном анализе.

2. СХЕМА КАСКАДНО-ЛАВИННОЙ ИР-КОНВЕРСИИ В КВАНТОВОЙ ЯМЕ ТИПА II

Рассмотрим гетероструктуру с зонной схемой типа II, состоящую из компонент A и B (см. рис. 1). Область шириной $2a$, занимаемая компонентой A гетероструктуры (область A), является прямоугольной ямой для электронов глубиной U_c и прямоугольным барьером для дырок высотой U_v . Считаем, что глубина ямы U_c достаточно велика (порядка 1.5–2 эВ). Вне указанной области находится компонента B (область B). Пусть в яме для электронов имеются три подзоны размерного квантования, пронумерованные в порядке возрастания энергии как 1, 2 и 3.

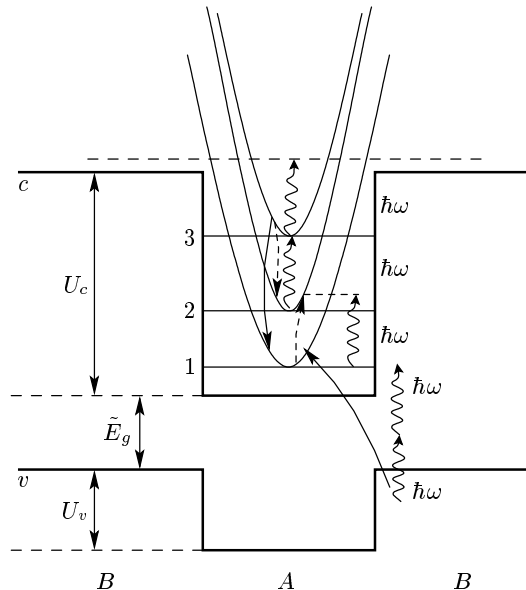


Рис. 1. Схема переходов в квантовой яме типа II при каскадно-лавинной ир-конверсии. Вертикальные волнистые линии со стрелками обозначают оптические переходы, сплошные линии со стрелками — оже-переходы $3v \rightarrow 11$, а штриховые линии со стрелками — оже-переходы $31 \rightarrow 22$

Считается, что энергетические зазоры между подзонами $\hbar\omega_{ij}$ велики по сравнению с температурой T . Предполагается также, что $\omega_{32} > \omega_{21}$, а частота падающего света $\omega \approx \omega_{32}$ ($\hbar\omega \sim 0.5\text{--}0.8 \text{ эВ}$). В отличие от [15, 16], предполагается, что в равновесных условиях электронные состояния в квантовой яме не заселены (рассматривается также случай, когда имеется небольшое число электронов в подзоне 1, см. разд. 7). При малых интенсивностях света j появляется лишь небольшое число неравновесных электронов в подзоне 1 за счет однофотонных либо двухфотонных непрямых (в \mathbf{k}_\perp -пространстве) переходов из состояний валентной зоны v в области B . Поскольку частота света больше частоты прямых переходов ω_{21} между подзонами 1 и 2, между этими подзонаами могут осуществляться лишь слабые непрямые (в \mathbf{k}_\perp -пространстве) переходы. Быстрые резонансные фотопереходы могли бы идти между подзонами 2 и 3, но эти подзоны при малых j остаются практически пустыми. Картина резко меняется при высоких значениях j . За счет двухступенчатого каскада слабых переходов $v \rightarrow 1$ и $1 \rightarrow 2$ некоторое число электронов все же оказывается в состояниях с $\mathbf{k}_\perp \neq 0$ подзоны 2. Эти электроны быстро релаксируют на дно подзоны. Затем они могут либо «свалиться» в

подзону 1 благодаря релаксации с участием фононов (см. разд. 5), либо поглотить фотон $\hbar\omega$ и оказаться в подзоне 3. Для резонансных разрешенных переходов $2 \rightarrow 3$ сила осциллятора очень велика. Из подзоны 3 электроны могут «свалиться» в подзоны 2 и 1 благодаря релаксации с участием фононов, но достаточно эффективным, как показано в [15], оказывается и механизм оже-релаксации: благодаря кулоновскому взаимодействию между электроном в подзоне 3 и электроном в подзоне 1 они оба переходят в подзону 2. Каждый из этих электронов может таким же образом привести к появлению двух электронов в подзоне 2 и т. д. При больших интенсивностях j света в подзону 2 благодаря этому механизму попадает больше электронов, чем их уходит в подзону 1. В этом случае и происходит лавинообразное увеличение заселенности в подзонах 2, 3 и в состояниях непрерывного спектра зоны проводимости c . Подчеркнем, что ядром описанного выше механизма (механизм I) запуска фотонной лавины является сильное поглощение света на переходах между возбужденными состояниями системы в сочетании с оже-переходом $31 \rightarrow 22$, ведущим к размножению электронов в подзоне 2.

В отличие от модели эффекта фотонной лавины в легированной квантовой яме [15, 16], в случае эффекта фотонной лавины в структуре типа II появляется и играет существенную роль еще один оже-процесс: электрон из подзоны 3 взаимодействует с электроном из валентной зоны области B и они оба попадают в подзону 1 (см. разд. 4). При этом увеличивается общее число электронов в квантовой яме, что приводит к снижению пороговой интенсивности света j_{th} . Этот оже-процесс в сочетании с механизмом I, обеспечивающим, в частности, переход электронов из подзоны 1 в подзону 3, образует ядро еще одного лавинного механизма (механизм II).

Как показывают проведенные в данной работе расчеты, в случае однофотонной накачки затравочных электронов в подзону 1 для получения каскадно-лавинной генерации пар, в принципе, было бы достаточно одного механизма I. Однако механизм II при этом играет важную роль, значительно понижая пороговое значение интенсивности. В случае двухфотонной накачки (в разумном диапазоне значений параметров) механизм I должен для запуска лавины обязательно дополняться механизмом II. Механизм II сам по себе (при чисто каскадном возбуждении в канале $1 \rightarrow 3$) не способен вызвать эффекта фотонной лавины.

В данной работе мы также явно включаем в рассмотрение фотопереходы из подзоны 3 в состояния

непрерывного спектра зоны проводимости, процессы захвата электронов из непрерывного спектра на уровни в квантовой яме и процессы рекомбинации неравновесных фотовозбужденных электронов и дырок.

3. ПЕРЕХОДЫ МЕЖДУ СОСТОЯНИЯМИ ЭЛЕКТРОНОВ В КВАНТОВОЙ ЯМЕ И СОСТОЯНИЯМИ НЕПРЕРЫВНОГО СПЕКТРА В ВАЛЕНТНОЙ ЗОНЕ И ЗОНЕ ПРОВОДИМОСТИ

Для грубой оценки вероятностей оптических переходов между состояниями непрерывного спектра валентной зоны и зоны проводимости и состояниями подзон размерного квантования в яме для электронов в области A воспользуемся простейшей моделью с однозонными волновыми функциями:

$$\psi_n(\mathbf{r}) = \sum_{\mu, \mathbf{R}_i} e^{i\mathbf{k}_\perp \cdot \mathbf{R}_i} \beta_n(R_{i\parallel}) e^{i\mu(\mathbf{r}-\mathbf{R}_i)} u_{n,\mu}(\mathbf{r}), \quad (3)$$

где $u_{n,\mu}(\mathbf{r})$ — блоховские амплитуды для n -й зоны. В приведенных ниже формулах фигурируют безразмерные координаты и волновые векторы, измеряющие соответственно в единицах a и a^{-1} , где a — полуширина квантовой ямы. Огибающие четные (+) и нечетные (-) волновые функции в валентной зоне, где область A представляет собой барьер для дырок с высотой U_v , и огибающие волновые функции для электронных состояний в квантовой яме глубиной U_c имеют вид

$$\beta_v^{(\pm)}(z) = \frac{1}{2L^{1/2}} \times \begin{cases} e^{-ik_{v\parallel}(z+1)} + e^{ik_{v\parallel}(z+1)} \gamma^{(\pm)}, & z < -1, \\ \varphi^{(\pm)} / \gamma_+^{(\pm)}, & -1 \leq z \leq 1, \\ e^{ik_{v\parallel}(z-1)} + e^{-ik_{v\parallel}(z-1)} \gamma^{(\pm)}, & z > 1, \end{cases}$$

$$\beta_{k_i}^{(\pm)}(z) = \sqrt{\frac{\eta_i}{a(1+\eta_i)}} \times \begin{cases} e^{\eta_i(z+1)} \begin{cases} \cos k_i & z < -1, \\ -\sin k_i & \end{cases} \\ \begin{cases} \cos k_i z & -1 \leq z < 1, \\ \sin k_i z & \end{cases} \\ e^{-\eta_i(z-1)} \begin{cases} \cos k_i & z > 1, \\ \sin k_i & \end{cases} \end{cases}, \quad (4)$$

где

$$\varphi^{(\pm)}(z) = \begin{cases} -\text{sh} \kappa z & \gamma^{(\pm)} = \frac{\gamma_-^{(\pm)}}{\gamma_+^{(\pm)}}, \\ \text{ch} \kappa z & \end{cases}$$

$$\begin{aligned} \gamma_{\pm}^{(\pm)} &= \begin{cases} ik_{v\parallel} \operatorname{ch} \kappa \pm \kappa \operatorname{sh} \kappa, \\ ik_{v\parallel} \operatorname{sh} \kappa \pm \kappa \operatorname{ch} \kappa, \end{cases} \\ k_{v\parallel} &= \frac{a}{\hbar} \sqrt{2m_v E_{v\parallel}}, \quad \kappa = \frac{a}{\hbar} \sqrt{2m_v (U_v - E_{v\parallel})}, \\ \eta_i &= \sqrt{k_0^2 - k_i^2}, \quad k_0 = \hbar^{-1} \sqrt{2m_c a^2 U_c}. \end{aligned} \quad (5)$$

Для четных и нечетных состояний в яме величины k_i определяются как корни трансцендентных уравнений

$$\operatorname{tg} k_i = \eta_i/k_i, \quad \operatorname{tg} k_i = -k_i/\eta_i. \quad (6)$$

Для интегралов перекрытия волновых функций валентной зоны и волновых функций первого и второго уровней в яме имеем соответственно

$$\begin{aligned} I_1^{(+)} &= \nu_1^{(+)} [\xi_1 \cos k_1 (\eta_1 \operatorname{ch} \kappa + \kappa \operatorname{sh} \kappa) + \\ &\quad + \zeta_1 (k_1 \operatorname{ch} \kappa \sin k_1 + \kappa \operatorname{sh} \kappa \cos k_1)], \end{aligned} \quad (7)$$

$$\begin{aligned} I_2^{(-)} &= -\nu_2^{(-)} [\xi_2 \sin k_2 (\kappa \operatorname{ch} \kappa + \eta_2 \operatorname{sh} \kappa) + \\ &\quad + \zeta_2 (\kappa \operatorname{ch} \kappa \sin k_2 - k_2 \cos k_2 \operatorname{sh} \kappa)], \end{aligned} \quad (8)$$

где

$$\begin{aligned} \nu_i^{(\pm)} &= 2i \sqrt{\frac{a\eta_i}{L(1+\eta_i)}} \frac{k_{v\parallel}}{\xi_i \zeta_i \gamma_{\pm}^{(\pm)}}, \\ \xi_i &= k_i^2 + \kappa^2, \quad \zeta_i = k_{v\parallel}^2 + \eta_i^2, \end{aligned} \quad (9)$$

L — нормировочная длина образца в направлении оси роста наноструктуры.

Выражения для вероятностей однофотонного и двухфотонного переходов между валентной зоной и подзоной 1 имеют вид

$$\begin{aligned} \frac{W_{v1}^{(1,2)}}{S} &= \frac{1}{2\pi^2 \hbar} \int d^2 k_{\perp} \int dk_{v\parallel} \left| \tilde{M}_1^{(1,2)}(k_{v\parallel}) \right|^2 \times \\ &\times \delta \left(\frac{\hbar^2 k_{\perp}^2}{2m_r} + \frac{\hbar^2 k_{v\parallel}^2}{2m_v} - a^2 \Delta_v^{(1,2)} \right), \end{aligned} \quad (10)$$

$$\begin{aligned} \Delta_v^{(p)} &= p\hbar\omega - E_{01} - \tilde{E}_g, \\ \tilde{M}_1^{(1,2)}(k_{v\parallel}) &= \sqrt{\frac{L}{a}} M_1^{(1,2)}(k_{v\parallel}), \\ M_1^{(1)}(k_{v\parallel}) &= i \frac{eF_{\omega}}{m\omega} p_{vc} I_1^{(+)}, \end{aligned} \quad (11)$$

$$\begin{aligned} M_1^{(2)}(k_{v\parallel}) &= \left(\frac{eF_{\omega}}{m\omega} \right)^2 \frac{p_{vc}}{a} \left\{ \frac{mk_{v\parallel}}{m_v \omega} I_1^{(+)} + \right. \\ &+ \frac{2i\hbar \cos k_1 \sin k_2}{E_{01} - E_{02} - \hbar\omega} \sqrt{\frac{\eta_1 \eta_2}{(1+\eta_1)(1+\eta_2)}} \times \\ &\times \left. \left[\frac{\eta_1}{\eta_1 + \eta_2} + \frac{k_1(k_2 \operatorname{tg} k_1 \operatorname{ctg} k_2 - k_1)}{k_1^2 - k_2^2} \right] I_2^{(-)} \right\}, \end{aligned} \quad (12)$$

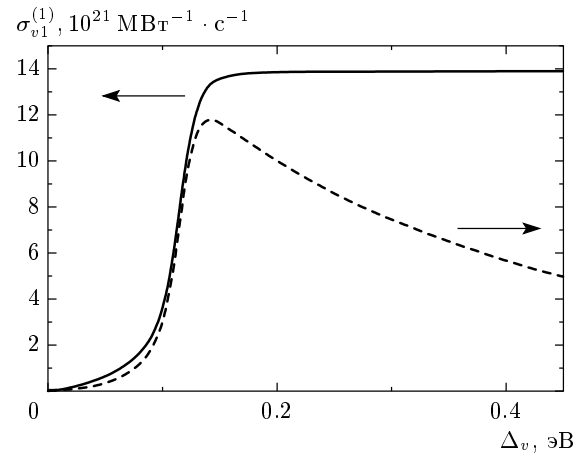


Рис. 2. Сечения одно- и двухфотонного поглощения на переходах между валентной зоной в области B и нижней подзоной в квантовой яме

где $m_r^{-1} = m_c^{-1} + m_v^{-1}$, $E_{0i} = \hbar^2 k_i^2 / 2m_c$ — энергия i -й подзоны при $\mathbf{k}_{\perp} \neq 0$, S — площадь сечения образца, перпендикулярного оси роста, m — масса свободного электрона, p_{vc} — обычный межзонный элемент оператора импульса, \tilde{E}_g — энергетический зазор между потолком валентной зоны в области B и дном квантовой ямы в области A , F_{ω} — амплитуда поля электромагнитной волны, вектор поляризации которой направлен вдоль оси роста. Здесь и далее энергии отсчитываются от дна квантовой ямы в области A .

Выполняя интегрирование по $d^2 k_{\perp}$ с помощью δ -функции, получим

$$\frac{W_{v1}^{(1,2)}}{S} = \frac{2m_r}{\pi^2 \hbar^3} \int_0^{\frac{a}{\hbar} \sqrt{2m_v \Delta_v}} dk_{v\parallel} \left| \tilde{M}_1(k_{v\parallel}) \right|^2. \quad (13)$$

На рис. 2 приведены зависимости $\sigma_{v1}^{(p)} = W_{v1}^{(p)} / (S j^p)$ от Δ_v . Здесь и далее при численных расчетах использовались следующие значения параметров: $U_c = 1.74$ эВ, $U_v = 0.1$ эВ, $a = 3$ нм, $m_v = 0.5m$, $m_c = 0.04m$. При расчете $\sigma_{v1}^{(2)}$ использовалось значение $\tilde{E}_g = 0.9$ эВ. При количестве квантовых ям на единицу длины вдоль оси роста наноструктуры $n_w \approx 5 \cdot 10^5$ см⁻¹ коэффициент однофотонного поглощения на переходах $v \rightarrow 1$ составляет 10^2 – 10^3 см⁻¹.

Приведем теперь выражение для вероятности оптического перехода между состоянием на дне подзоны 3 в квантовой яме и состоянием с энергией $E_c = \hbar^2 k_c^2 / 2m_c a^2$ непрерывного спектра. Опуская

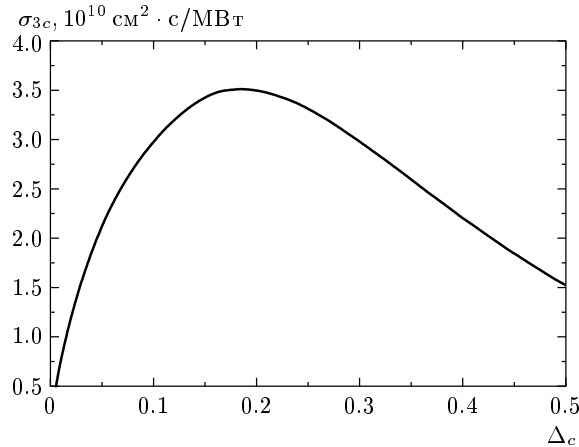


Рис. 3. Зависимость сечения σ_{3c} поглощения света на переходе $3 \rightarrow c$ от $\Delta_c = E_{3c} + \hbar\omega - U_c$

подробности вычислений, получим

$$W_{3c} = \frac{16\pi m_c e^2 a^4}{\hbar^3 c \varepsilon k_c} j \left| A_3 A_k \left[j_1(k_c - k_3) + j_1(k_c + k_3) - 2 \cos k_3 \cos(\gamma_c - \varphi - \psi) \frac{\sqrt{\gamma_c^2 + (1 + \eta_3)^2}}{\gamma_c^2 + \eta_3^2} \right] \right|^2, \quad (14)$$

где c — скорость света в вакууме, ε — диэлектрическая проницаемость,

$$\begin{aligned} A_3 &= [(k_3 + \sin k_3 \cos k_3)/k_3 + (\cos^2 k_3)/\eta_3]^{-1/2}, \\ A_k &= [\sin^2 k_c + k_c^2/(k_c^2 - k_0^2 \cos^2 k_c)]^{-1/2}, \\ \gamma_c &= \sqrt{k_c^2 - k_0^2} \equiv \sqrt{2m_c \Delta_c}/\hbar, \quad \Delta_c \equiv E_c - U_c, \\ \varphi &= \operatorname{arctg}[(k_c \operatorname{tg} \gamma_c - \\ &- \gamma_c \operatorname{tg} k_c)/(k_c + \gamma_c \operatorname{tg} \gamma_c \operatorname{tg} k_c)] = \\ &= \operatorname{arctg}\{\gamma_c^{-1}[-1+ \\ &+ \eta_3(1+2(\gamma_c^2+2\eta_3+\eta_3^2)^{-1})]\}, \\ \psi &= \operatorname{arctg}\{\gamma_c^{-1}[-1+ \\ &+ \eta_3(1+2(\gamma_c^2+2\eta_3+\eta_3^2)^{-1})]\}, \end{aligned} \quad (15)$$

$j_1(z) = (\sin z)/z^2 - (\cos z)/z$ — сферическая функция Бесселя первого рода. Дисперсия вероятности W_{3c} дана на рис. 3. Вообще говоря, зависимость W_{3c} от энергии, описываемая формулами (14), (15), является немонотонной и характеризуется резкими максимумами, связанными с виртуальными состояниями в непрерывном спектре. Эти максимумы, однако, проявляются при энергиях, значительно превышающих те, что актуальны для данной работы.

4. ВЕРОЯТНОСТИ ОЖЕ-ПЕРЕХОДОВ

Рассмотрим оже-переходы следующего типа: электрон с двумерным волновым вектором $\mathbf{k}_{3\perp}$, находящийся в подзоне 3 квантовой ямы, взаимодействует с электроном с волновым вектором $\mathbf{k}_v = (\mathbf{k}_{v\perp}, k_{v\parallel})$ в валентной зоне области B . В результате оба электрона переходят в подзону 1 квантовой ямы в состояния с волновыми векторами $\mathbf{k}_{11\perp}$ и $\mathbf{k}_{12\perp}$. Переданный при этом импульс в плоскости, перпендикулярной оси роста наноструктуры, равен

$$\mathbf{q}_0 = \mathbf{k}_{3\perp} - \mathbf{k}_{11\perp} = \mathbf{k}_{12\perp} - \mathbf{k}_{v\perp}. \quad (16)$$

Представляя кулоновское взаимодействие в виде разложения в трехмерный ряд Фурье и выполняя стандартные преобразования, получим следующее выражение для прямого матричного элемента, построенного на функциях (3)–(6):

$$M_{\mathbf{k}_{3\perp}, \mathbf{k}_{v\perp}, \mathbf{k}_{3\perp} - \mathbf{q}_0, \mathbf{k}_{v\perp} + \mathbf{q}_0}^{(d)} = \frac{4\pi e^2}{a\varepsilon} \int dq_{\parallel} \iint dz_1 dz_2 \times \\ \times \frac{\exp\{iq_{\parallel}(z_1 - z_2)\}}{q_0^2 + q_{\parallel}^2} \times \\ \times \beta_3^*(z_1) \beta_1(z_1) \beta_v^*(z_2) \beta_1(z_2) \Theta_{-\mathbf{q}}^{(cc)} \Theta_{\mathbf{q}}^{(vc)}, \quad (17)$$

где

$$\Theta_{\mathbf{q}_0}^{(mn)} = \int d\mathbf{r} u_m^*(\mathbf{r}) u_{n\mathbf{K} + \mathbf{q}_0}(\mathbf{r})$$

— интегралы перекрытия блоховских амплитуд для m -й и n -й зон, которые для простоты считаются зависящими только от \mathbf{q}_0 , но не от \mathbf{K} . В свою очередь,

$$\Theta_{\mathbf{q}}^{(cc)} \approx 1, \quad \Theta_{\mathbf{q}}^{(vc)} \approx \chi \mathbf{q}_0, \quad \chi \sim \frac{\hbar}{m} \frac{\mathbf{p}_{cv}}{E_g}, \quad (18)$$

где

$$\boldsymbol{\pi} = \mathbf{p} + \frac{\hbar}{4mc^2} [\boldsymbol{\sigma} \nabla V],$$

$\boldsymbol{\sigma}$ — матрица Паули, V — периодический потенциал решетки, \mathbf{p} — оператор импульса. Выполняя в (17) интегрирование по dq_{\parallel} , получим

$$\begin{aligned} M_{\mathbf{k}_{3\perp}, \mathbf{k}_{v\perp}, \mathbf{k}_{3\perp} - \mathbf{q}_0, \mathbf{k}_{v\perp} + \mathbf{q}_0}^{(d)}(k_{v\parallel}) &= \\ &= \frac{4\pi^2 e^2}{\varepsilon a^2} \chi_{\parallel} \left(i \tilde{I}_1 + \sqrt{2} \cos \theta_{\mathbf{q}_0 \boldsymbol{\pi}_{\perp}} \tilde{I}_2 \right) \equiv \\ &\equiv \frac{4\pi^2 e^2 \chi}{S \varepsilon \sqrt{L}} \tilde{M}_{\mathbf{k}_{3\perp}, \mathbf{k}_{v\perp}, \mathbf{k}_{3\perp} - \mathbf{q}_0, \mathbf{k}_{v\perp} + \mathbf{q}_0}^{(d)}(k_{v\parallel}), \end{aligned} \quad (19)$$

где

$$\begin{aligned} \tilde{I}_1 &= \iint dz_1 dz_2 \exp(-q_0 |z_1 - z_2|) \operatorname{sign}(z_1 - z_2) \times \\ &\times \beta_3^*(z_1) \beta_1(z_1) \beta_{vk_{v\parallel}}^{(+)*}(z_2) \beta_1(z_2), \end{aligned} \quad (20)$$

$$\tilde{I}_2 = \iint dz_1 dz_2 \exp(-q_0|z_1 - z_2|) \times \\ \times \beta_3^*(z_1) \beta_1(z_1) \beta_{v k_{v\parallel}}^{(-)*}(z_2) \beta_1(z_2). \quad (21)$$

Выражение для вероятности перехода запишем в виде

$$W_{3v,11}^{aug} = \frac{e^4 \chi^2}{(2\pi)^2 \hbar \varepsilon^2 a^7} \int d^3 k_v \int f(k_{3\perp}) d^2 k_{3\perp} \times \\ \times \int d^2 q_0 \left| \tilde{M}_{\mathbf{k}_{3\perp}, \mathbf{k}_{v\perp}, \mathbf{k}_{3\perp} - \mathbf{q}_0, \mathbf{k}_{v\perp} + \mathbf{q}_0}^{(d)}(k_{v\parallel}) + \right. \\ \left. + \tilde{M}_{\mathbf{k}_{3\perp}, \mathbf{k}_{v\perp}, \mathbf{k}_{3\perp} - \mathbf{q}_0, \mathbf{k}_{v\perp} + \mathbf{q}_0}^{(e)}(k_{v\parallel}) \right|^2 \times \\ \times \delta \left[\Delta_v a^{-2} - \frac{\hbar^2 k_{v\parallel}^2}{2m_v} + \frac{\hbar^2}{m_c} (\mathbf{k}_{3\perp} - \mathbf{k}_{v\perp}) \cdot \mathbf{q}_0 - \right. \\ \left. - \frac{\hbar^2 q_0^2}{m_c} - \frac{\hbar^2 k_{v\perp}^2}{2m_r} \right], \quad (22)$$

где $\Delta_v = (E_{03} - 2E_{01} - \tilde{E}_g)$, $f(k_{3\perp})$ — функция распределения электронов в подзоне 3. Верхними индексами d и e отмечены прямой и обменный матричные элементы перехода. Для того чтобы упростить вычисление семикратного интеграла в правой части (22), можно использовать следующие соображения. В предположении, что внутриподзонная релаксация электронов в подзоне 3 происходит быстрее, чем другие процессы релаксации, будем считать, что все электроны в подзоне 3 находятся вблизи ее дна и в подынтегральной функции можно положить $\mathbf{k}_{3\perp} = 0$, $\int f(k_{3\perp}) d^2 k_{3\perp} = (2\pi)^2 n_{3\perp}$.

Интегрирование по углам между $\mathbf{k}_{3\perp}$ и \mathbf{q}_0 снимается с помощью δ -функции. После некоторых вычислений получим

$$\frac{1}{\tau_{aug}} = \frac{W_{3v,11}^{aug}}{S n_3} = \frac{e^4 m_c \chi_{\parallel}^2}{2 \hbar^3 a^3 \varepsilon^2} \int_0^{k_{v\perp}^{(m)}} dk_{v\perp} \times \\ \times \int_0^{k_{v\perp}^{(m)}} dk_{v\parallel} \int_{\vartheta_-}^{\vartheta_+} dq_0^2 \frac{\left| \tilde{M}_{q_0}^{(d)}(k_{v\parallel}) + \tilde{M}_{q_0}^{(e)}(k_{v\parallel}) \right|^2}{\sqrt{(q_0^2 - \vartheta_-)(\vartheta_+ - q_0^2)}}, \quad (23)$$

$$\vartheta_{\pm} = \frac{1}{2} (k_{v\perp} \pm \rho), \quad (24)$$

$$\rho = \sqrt{k_{v\perp}^2 + \frac{4m_c a^2}{\hbar^2} \left(\Delta_v - \frac{\hbar^2 k_{v\parallel}^2}{2m_v} - \frac{\hbar^2 k_{v\perp}^2}{2m_r} \right)},$$

$$k_{v\parallel}^{(m)} = \sqrt{\frac{m_v}{2m_c} \left[\frac{4m_c a^2}{\hbar^2} \Delta_v + k_{v\perp}^2 \left(1 + 2 \frac{m_c}{m_v} \right) \right]}, \quad (25)$$

$$k_{v\perp}^{(m)} = \frac{1}{\hbar} \sqrt{\frac{4m_v m_c}{2m_c + m_v} \Delta_v}.$$

Характерная зависимость $\tau_{aug}^{-1}(\Delta_v)$ изображена на рис. 4.

Приближенное выражение для вероятности оже-переходов типа $31 \rightarrow 22$ имеет вид [16]

$$\frac{W_{31,22}}{S} = \frac{32 \alpha m_c e^4}{\hbar^3 a^2 \varepsilon^2} I(\tilde{n}_1, \tilde{n}_2, \tilde{\delta}), \quad (26)$$

где $\alpha \sim 1$ — коэффициент, описывающий слабую интерференцию прямого и обменного вкладов в вероятность оже-процесса, $\tilde{n}_i \equiv 4a^2 n_i$, $\tilde{\delta} \equiv 4a^2 m_c \delta / \hbar^2$, $\delta = E_{03} - 2E_{01} + E_{01}$. Безразмерная функция $I(\tilde{n}_1, \tilde{n}_2, \tilde{\delta})$ в правой части (26) хорошо аппроксимируется выражением

$$I(\tilde{n}_1, \tilde{n}_3, \tilde{\delta}) \approx a_0 \tilde{n}_1 \tilde{n}_3 \left[1 + c_0 \tilde{\delta}^3 \exp(-d_0 \tilde{\delta}) \right]^{-1} \times \\ \times \left\{ \tilde{n}_1 + \tilde{n}_3 + b_0 \left[1 + (\tilde{\delta}/\tilde{\delta}_0)^8 \right] \right\}^{-1/2}, \quad (27)$$

где $a_0 \approx 0.1255$, $b_0 \approx 2.44$, $c_0 \approx 0.1$, $d_0 \approx 0.38$, $\tilde{\delta}_0 \approx 7.37$. При $\tilde{\delta} \lesssim 1$ величина $I(\tilde{n}_1, \tilde{n}_2, \tilde{\delta})$ практически не зависит от $\tilde{\delta}$. При очень больших $\tilde{\delta}$ имеем $I^{(d)}(\tilde{n}_1, \tilde{n}_3, \tilde{\delta}) \propto \tilde{\delta}^{-4}$.

Обсудим роль разогрева носителей за счет внутриподзонного поглощения света. В случае обычной межзонной оже-рекомбинации учет разогрева (точнее, квазиволновесной нефермиевской части функции распределения, см., например, [2]) принципи-

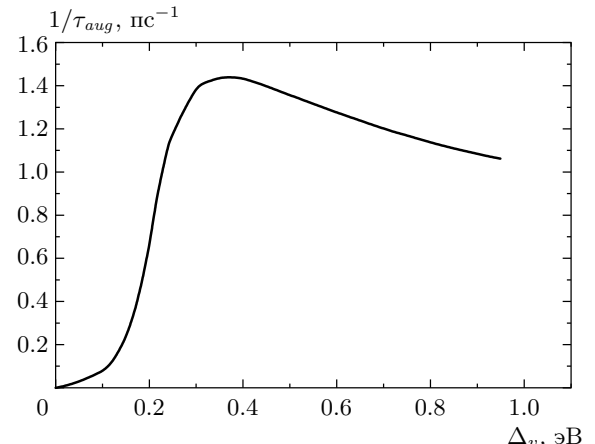


Рис. 4. Зависимость скорости оже-переходов $3v \rightarrow 11$ от $\Delta_v = E_{03} - 2E_{01} - E_v$

ально важен, так как лишь носители с кинетической энергией, превышающей определенное пороговое значение, могут участвовать в оже-процессе. Для рассматриваемых в настоящей работе процессов оже-типа это не так — в них могут участвовать электроны в подзоне 3 с нулевой кинетической энергией. Роль разогрева здесь в некотором смысле играет межподзонное фотовозбуждение носителей, которое явным образом учитывается в нашей модели. Нужно лишь, чтобы величины δ и Δ_v были положительными, что и предполагается в работе. В рассматриваемом нами случае глубоких квантовых ям и достаточно больших величин $\hbar\omega$ из-за малости коэффициента внутриподзонного поглощения света (на 2–3 порядка меньше, чем для межподзонного поглощения) разогрев электронов светом оказывается слабым. Так, в наиболее актуальной области интенсивностей $j \sim j_{th}$ изменение электронной температуры, как показывают грубые оценки, едва ли может превысить 10 К. Это, конечно, не может привести к каким-либо ощутимым последствиям для рассматриваемых в работе эффектов. В области же высоких интенсивностей разогрев (в широком смысле) электронов должен приниматься во внимание наряду с другими факторами, осложняющими анализ в этом случае (см. заключительную часть разд. 6). Однако действительно существенную роль внутриподзонное фотовозбуждение носителей могло бы, в принципе, играть лишь при малых значениях δ , $\Delta_v \lesssim 30$ –50 мэВ. Заметим, что возможное увеличение вероятностей процессов оже-типа могло бы лишь увеличить эффективность рассматриваемого механизма каскадно-лавинной генерации пар, понижая пороговое значение j_{th} интенсивности света.

5. СКОРОСТЬ МЕЖПОДЗОННОЙ РЕЛАКСАЦИИ

Межподзонная релаксация в квантовых ямах обусловлена, в первую очередь, взаимодействием электронов с оптическими фононами. Проблемы электрон-фононного взаимодействия в системах с квантовыми ямами рассматривались во многих публикациях (см., например, [17–28]). Сложность задачи обусловлена тем, что наличие конфайнмента существенным образом модифицирует колебательный спектр системы и электрон-колебательное взаимодействие. Необходим, в частности, корректный учет взаимодействия электронов как с конфайнментными, так и с интерфейсными модами. Межподзонное рассеяние рассматривалось в работах [22, 28]. В ак-

туальном для нас случае, когда энергия оптического фона $\hbar\omega_L$ мала по сравнению с энергией E_{01} нижней подзоны в яме, выражение для скорости переходов между первой и второй подзонами, полученное в работе [22], принимает вид

$$W_{21}^{(R)} \approx \frac{e^2 m_c \omega_L a}{2\pi^2 \hbar^2} \left(\frac{1}{\varepsilon_\infty} - \frac{1}{\varepsilon_0} \right), \quad (28)$$

где ε_∞ и ε_0 — высокочастотная и статическая диэлектрические проницаемости. В работе [28] вместо (28) получено выражение

$$W_{21}^{(G)} \approx 4\pi W_{21}^{(R)} \sqrt{\frac{\varepsilon_0}{\varepsilon_\infty}} \Lambda, \quad (29)$$

где Λ — функция кинетической энергии электрона, принимающая в актуальной для нас области энергий значения, равные примерно 1 – $2 \cdot 10^{-1}$. Обе формулы дают оценку $W_{21} \sim 10^{11}$ с⁻¹.

6. УРАВНЕНИЯ БАЛАНСА ДЛЯ ЗАСЕЛЕННОСТЕЙ

При составлении уравнений баланса следует иметь в виду, что при больших интенсивностях накачки j концентрации электронов в подзонах 2 и 3 становятся сопоставимыми, и следует учитывать фотоиндукционные переходы как с поглощением, так и с испусканием фотона. Сказанное не относится к переходам $v \rightarrow 1$, $1 \rightarrow 2$ и $3 \rightarrow c$, так как электроны или дырки в конечных для этих переходов состояниях обладают относительно большой кинетической энергией, теряя которую за счет быстрой внутризонной или внутриподзонной релаксации, они выходят из области резонанса.

Система уравнений для концентраций неравновесных дырок p в валентной зоне, электронов $n_{1,2,3}$ в трех подзонах зоны проводимости и электронов в непрерывном спектре зоны проводимости n_c имеет вид

$$\begin{aligned} \dot{n}_c &= \sigma_{3c} j n_3 - W_{c3} n_c - d_c n_c (p_0 + p), \\ \dot{n}_3 &= W_{c3} n_c - \sigma_{3c} j n_3 - \\ &\quad - (W_{31} + W_{32} + \tau_{aug}^{-1}) n_3 + \\ &\quad + \sigma_{23} j (n_2 - n_3) - W_{31,22} (n_1, n_3), \\ \dot{n}_2 &= -W_{21} n_2 - \sigma_{23} j (n_2 - n_3) + \\ &\quad + W_{32} n_3 + 2W_{31,22} (n_1, n_3) + \sigma_{12} j n_1, \\ \dot{n}_1 &= -\sigma_{12} j n_1 + W_{21} n_2 + W_{31} n_3 - \\ &\quad - W_{31,22} (n_1, n_3) + \\ &\quad + 2\tau_{aug}^{-1} n_3 + \sigma_{v1}^{(q)} j^q - d_1 n_1 (p_0 + p), \\ p &= n_1 + n_2 + n_3 + n_c \end{aligned} \quad (30)$$

с начальными условиями $n_2, n_3, n_c, p = 0, n_1 = n_{10}$ при $t = 0$. Индекс q принимает значения 1 или 2 для случаев однофотонных и двухфотонных переходов между валентной зоной в области B и подзоной 1 в квантовой яме. В уравнениях (30) фигурируют «двумерные» концентрации p, p_0, n_c частиц непрерывного зонного спектра, которые отличаются от обычных концентраций $\tilde{p}, \tilde{p}_0, \tilde{n}_c$ множителем n_w (см. разд. 3): $\tilde{n}_c = n_c n_w$ и т. п. Члены $-d_c n_c(p_0 + p)$ и $-d_1 n_1(p_0 + p)$ описывают обычную бимолекулярную рекомбинацию электронов в зоне проводимости и в подзоне 1 с дырками в валентной зоне области B . Величина p_0 обозначает равновесную концентрацию дырок. Равновесную концентрацию электронов в зоне проводимости для простоты считаем равной нулю. В формулах (30) W_{c3} — скорость захвата электронов из непрерывного спектра зоны проводимости в подзону 3 квантовой ямы. Оценка сечений σ_{ij} оптических переходов между i -й и j -й подзонаами проводится с учетом того, что типичные ширины полос межподзонного поглощения составляют 10–30 мэВ (см., например, обзор [29]). Тогда для резонансных переходов между соседними подзонаами получим $\sigma_{i,i+1} \sim 1 \text{ см}^2 / (\text{пс} \cdot \text{МВт}) \times (a/5 \text{ нм})^2$. Значение σ_{12} для нерезонансного непрямого перехода уменьшается с увеличением расстройки резонанса. При $\delta \sim 100 \text{ мэВ}$ величина σ_{12} оказывается на 3–4 порядка меньше, чем σ_{23} .

Состояния двух электронов в подзоне 2, куда они попадают в результате оже-перехода $31 \rightarrow 22$, в силу законов сохранения энергии и импульса характеризуются при не очень малых значениях расстройки резонанса $\omega - \omega_{21}$ относительно большими значениями волновых векторов $\mathbf{k}_{21\perp}$ и $\mathbf{k}_{22\perp}$. Тем не менее в рассматриваемой здесь модели, как показывают численные расчеты, концентрация n_2 может при актуальных интенсивностях j света оказаться достаточной для заполнения этих состояний. При этом имеет место насыщение вероятностей оже-переходов, которое мы приближенно описываем множителем $[1 + (n_2/n_f)^r]^{-1}$. Приведенные ниже результаты численных расчетов получены при использовании значений $n_f \approx 3 \cdot 10^{12} \text{ см}^{-2}$, $r = 4$. Варьирование в разумных пределах значений n_f и r , равно как и вероятности W_{c3} захвата свободного электрона квантовой ямой, не приводят к качественному изменению результатов. Это обстоятельство, а также исследование зависимости решений (30) от других параметров (см. обсуждение в разд. 7), позволяют рассчитывать на то, что качественный характер результатов не изменится за счет многочастичных эффектов. Благодаря этим эффектам положение пиков и интенсив-

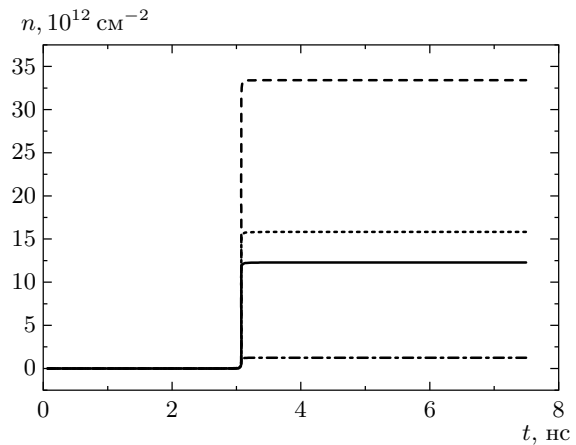


Рис. 5. Зависимость заселенности подзон размежевого квантования и зоны проводимости от времени с начала действия импульса накачки; $j = 2 \text{ МВт}/\text{см}^2$. Здесь и на рис. 6 сплошная линия — n_1 , штриховая — n_2 , пунктирная — n_3 , штрихпунктирная — n_c

ности межподзонных оптических переходов, вообще говоря, зависят от концентрации носителей в квантовой яме (см. обзор [30]). Сопоставление теории с экспериментом показывает (см., например, [31]), что вклад в коротковолновый сдвиг пиков межподзонного поглощения ИК-света вносят эффекты деполяризации (плазмонный сдвиг), эффекты экситонного типа (взаимодействие возбужденного электрона с дыркой в основном состоянии), а также эффекты прямого и обменного кулоновского взаимодействия. В принципе изменение заселенности электронов в подзонах 1, 2, 3 может оказывать некоторое влияние на величины $\sigma_{i,i+1}$. Тем не менее этот эффект едва ли может быть существенным в рассматриваемом нами случае глубоких квантовых ям, когда при всех актуальных значениях концентраций n_i плазменные частоты ω_0 электронов в яме малы по сравнению с зазорами ω_{ij} между подзонаами размежевого квантования.

На рис. 5 показаны зависимости заселенностей $n_{1,2,3}$ и n_c от времени, прошедшего с момента включения накачки. На рис. 6 изображены зависимости времени установления квазиравновесного распределения электронов τ_{eq} от интенсивности j накачки для однофотонного и двухфотонного вариантов эффекта фотонной лавины. На рис. 7 приведены зависимости квазиравновесных заселеностей $n_{1,2,3}$ и n_c от интенсивности j накачки. В расчете были использованы следующие значения параметров, фигурирующих в правых час-

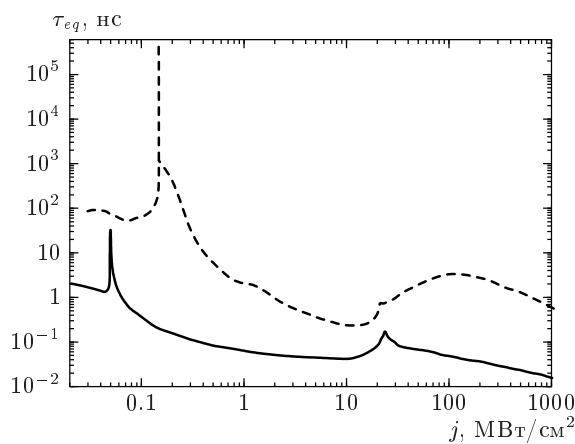


Рис. 6. Зависимость времени установления равновесных заселенностей τ_{eq} от интенсивности света j при однофотонных (сплошная линия) и двухфотонных переходах (штриховая линия) между валентной зоной и нижней подзоной размерного квантования

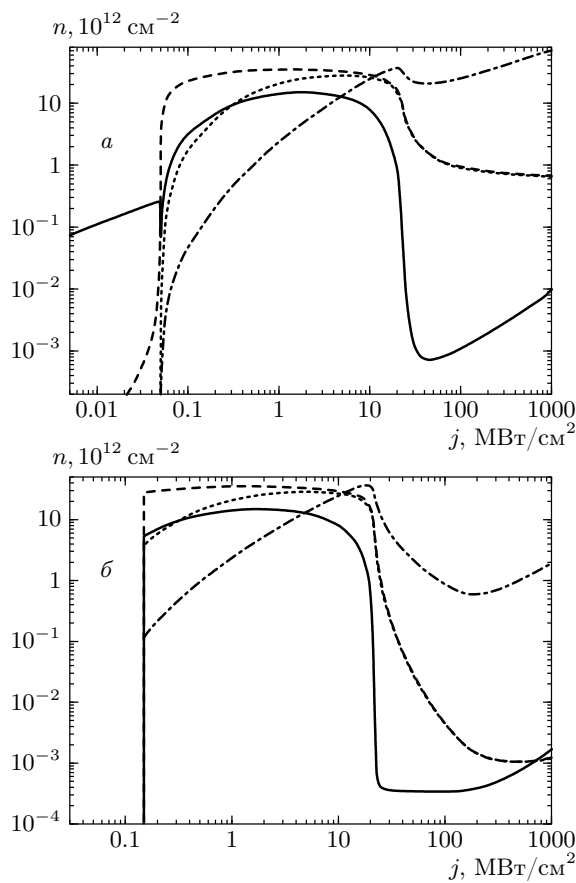


Рис. 7. Зависимость равновесных заселенностей от интенсивности света при однофотонных (a) и двухфотонных (б) переходах $v \rightarrow 1$

тих уравнений (30): $a = 3 \cdot 10^{-7}$ см, $\alpha = 1.2$, $W_{31} = 0.02$ пс $^{-1}$, $W_{c3} = 0.01$ пс $^{-1}$, $W_{32} = 0.07$ пс $^{-1}$, $W_{21} = 0.1$ пс $^{-1}$, $\tau_{aug} = 2$ пс, $n_{10} = 0$, $\delta = 0.05$ эВ, $\sigma_{12} = 0.003$ см 2 /пс·МВт, $\sigma_{23} = 2$ см 2 /пс·МВт, $\sigma_{3c} = 0.025$ см 2 /пс·МВт, $\sigma_{v1}^{(1)} = 1.5 \cdot 10^{10}$ МВт $^{-1}$ ·пс $^{-1}$, $\sigma_{v1}^{(2)} = 10^4$ см $^{-2}$ · МВт $^{-2}$ · пс $^{-1}$, $p_0 = 3 \cdot 10^{10}$ см $^{-2}$, $d_1 = 0.01$ см 2 · с $^{-1}$, $d_c = 0.003$ см 2 · с $^{-1}$, см. также разд. 3. Следует иметь в виду, что при $j \gg 10$ МВт/см 2 система уравнений (30) заведомо неприменима. В этом случае частота Раби для переходов между подзонами 2 и 3 удовлетворяет неравенству $\omega_R \gg 10^{13}$ с $^{-1}$, т. е. $\omega_R \gg \tau^{-1}$, где τ — характерное время релаксации импульса электрона в подзоне 2 или 3. В такой ситуации, где мы имеем дело с оптическим штарк-эффектом, требуется совсем иной подход (см., например, [32, 33]). Кроме того, при $j > 10$ МВт/см 2 следует учесть еще разогрев электронов в поле световой волны и ряд нелинейных процессов. Тем не менее мы привели зависимости $n_i(j)$ и для области больших j , чтобы продемонстрировать характер решений системы (30).

7. ОБСУЖДЕНИЕ РЕЗУЛЬТАТОВ

Очевидно, что система уравнений баланса (30) может дать лишь очень грубое описание кинетики фотоиндуцированных переходов в системе с квантовыми ямами типа II и, строго говоря, здесь требуется значительно более детальный подход. В то же время, как показывает приведенное ниже обсуждение, качественный характер результатов решения (30) не очень чувствителен к описанию элементарных процессов, приводящих в совокупности к эффекту фотонной лавины. Поэтому можно рассчитывать на то, что более строгое решение задачи не должно привести к качественной ревизии полученных в данной работе результатов. Следует иметь в виду, что такое строгое решение представляется чрезвычайно сложным.

Качественные особенности эффекта фотонной лавины в квантовой яме типа II практически одинаковы в случаях однофотонного и двухфотонного переходов между валентной зоной в области *B* и нижней подзоной размерного квантования в области *A*. Поскольку, однако, при двухфотонном варианте эффекта фотонной лавины, во-первых, налагаются более слабые ограничения на параметры энергетического спектра гетероструктуры, во-вторых, достигается более высокое значение отношения энергии родившейся ЭДП к кванту света накачки и, в-третьих, предельно четко выражен пороговый ха-

рактер эффекта, будем в основном обсуждать результаты именно для этого случая.

Сложность «упрощенной» системы нелинейных уравнений (30) делает весьма затруднительным ее качественный анализ типа того, что проведен в [11, 12, 16], и получение простых формул вроде (1), (2). Поэтому будем использовать результаты численных расчетов. На рис. 7б видно, что имеется пороговая интенсивность света $j = j_{th}$, при которой заселенности n_i ($i = 1, 2, 3$) и n_c скачком меняются на много порядков¹⁾ (n_1 изменяется на 5, а n_2 — на 10 порядков). Для использованных в расчете значений параметров $j_{th} \approx 149.3 \text{ кВт/см}^2$. В широкой области $j_{th} < j < j_{th}^{(1)}$ ($j_{th}^{(1)} \approx 21.5 \text{ МВт/см}^2$) происходит плавное изменение заселенностей: n_1 и n_2 достигают максимума и начинают уменьшаться, а n_3 и n_c монотонно возрастают. При значениях j вблизи $j_{th}^{(1)}$ происходит выравнивание заселенностей подзон 2 и 3. При этом запирается главный канал поглощения света — резонансные межподзонные переходы $2 \rightarrow 3$. Кроме того, из-за высокой концентрации электронов в подзоне 2 оказываются занятymi состояния в этой подзоне 2, являющиеся конечными для главного «лавинообразующего» процесса оже-типа $31 \rightarrow 22$. Наконец, увеличивается темп бимолекулярной рекомбинации электронов и дырок. В совокупности это приводит к резкому уменьшению поглощаемой световой энергии и быстрому падению заселенностей при увеличении j в области $j \approx j_{th}^{(1)}$, хотя их изменение оказывается менее резким, чем вблизи j_{th} . При $j > j_{th}^{(1)}$ заселенности плавно меняются с интенсивностью. В этой области заселенности n_2 и n_3 практически одинаковы, при этом $n_c \gg n_{2,3} \gg n_1$.

Поскольку рассматриваемая модель каскадно-лавинной генерации пар включает много разнообразных процессов, возникает вопрос об устойчивости полученной картины нелинейной генерации ЭДП по отношению к изменению параметров, фигурирующих в уравнениях (30). Рассмотрим сначала, как влияет изменение параметров на значение пороговой интенсивности j_{th} . Зависимость j_{th} от начальной заселенности нижней подзоны n_{01} хорошо описывается формулой

$$j_{th}(n_{01}) \approx j_{th}(0)(1 + \vartheta_1 n_{01})/(1 + \vartheta_2 n_{01}), \quad (31)$$

где при выбранных нами значениях остальных параметров $\vartheta_1 \approx 1.225 \cdot 10^{-9}$, $\vartheta_2 \approx 3.65 \cdot 10^{-9}$. Видно, что уже при $n_{01} \sim 10^9 \text{ см}^{-2}$ пороговая интенсивность

¹⁾ Разумеется, при сравнении теории с экспериментом необходимо учитывать реальное распределение интенсивностей по профилю светового пучка.

уменьшается в два с половиной раза по сравнению с $j_{th}(0)$. Это обстоятельство, в принципе, может быть использовано для управления светом с помощью света. Действительно, наличие (отсутствие) импульса дополнительного слабого света, вызывающего переходы $v \rightarrow 1$, создает ситуацию, в которой фиксированная интенсивность j накачки оказывается выше (ниже) пороговой.

Зависимость j_{th} от сечения двухфотонного поглощения $\sigma_{v1}^{(2)}$ можно аппроксимировать формулой

$$j_{th}(\tilde{\sigma}_{v1}^{(2)}) \approx j_0 + \chi_0 / \left[1 + \chi_1 \exp \left(\tilde{\sigma}_{v1}^{(2)} / \chi_2 \right) \right], \quad (32)$$

где $\tilde{\sigma}_{v1}^{(2)} = \sigma_{v1}^{(2)} / (10^4 \text{ см}^2 \cdot \text{МВт}^{-2} \cdot \text{пс}^{-1})$. При выбранных нами значениях других параметров $j_0 \approx \approx 0.05965 \text{ МВт/см}^2$, $\chi_0 \approx 477 \text{ МВт/см}^2$, $\chi_1 \approx 5098$, $\chi_2 \approx 145.616$. При изменении $\tilde{\sigma}_{v1}^{(2)}$ в весьма широком интервале от 0.05 до 10^5 , для которого справедлива аппроксимация (32), величина j_{th} уменьшается всего в три раза.

Зависимость j_{th} от скорости оже-переходов $3v \rightarrow 11$ описывается соотношением того же типа, что и (31):

$$j_{th}(\tau_{aug}) \approx j_1(1 + \pi_1 \tau_{aug}^{-1}) / (1 + \pi_2 \tau_{aug}^{-1}), \quad (33)$$

где τ_{aug} измеряется в пикосекундах, а для принятых значений других параметров $j_1 \approx 0.801 \text{ МВт/см}^2$, $\pi_1 \approx 13.92$, $\pi_2 \approx 82.54$. При увеличении τ_{aug}^{-1} от 0.005 до 50 пс^{-1} j_{th} уменьшается менее чем в 5 раз.

Если одновременно изменить принятые нами в расчетах скорости бимолекулярной рекомбинации d_1 и d_c в ϕ раз, то для j_{th} получим

$$j_{th}(\phi) \approx j^{(0)} + \nu \phi^\lambda, \quad (34)$$

где $j^{(0)} \approx 0.05 \text{ МВт/см}^2$, $\nu \approx 0.09448 \text{ МВт/см}^2$, $\lambda \approx 0.96913$. Так, при увеличении ϕ от 0.01 до 100 значения j_{th} увеличиваются от 0.05 до 6.6 МВт/см^2 . Впрочем, нет оснований считать, что скорости рекомбинации могут соответствовать значениям $\phi \gg 1$. В области же реалистических значений $\phi \lesssim 1$ пороговые интенсивности слабо зависят от скорости рекомбинации. В то же время вторая пороговая интенсивность $j_{th}^{(1)}$ (см. рис. 7) увеличивается с уменьшением ϕ . При этом убывание заселенностей $n_{1,2,3}$ и n_c становится более плавным, теряет «критический» характер. Напомним, что к результатам для $j \gtrsim 10 \text{ МВт/см}^2$ следует относиться осторожно, так как применимость уравнений баланса (30) в области столь высоких интенсивностей накачки вызывает сомнения.

В рассмотренной в [15, 16] модели эффекта фотонной лавины в легированной квантовой яме, где полное число электронов в квантовой яме является фиксированным, пороговая интенсивность накачки не зависит от сечения фотоперехода $1 \rightarrow 2$ (см. формулу (1) настоящей работы). Аналогичным свойством обладает и эффект фотонной лавины в примесных системах [8–14]. По-иному обстоит дело в модели, рассматриваемой в данной работе. Здесь зависимость j_{th} от σ_{12} аппроксимируется выражением

$$j_{th}(\sigma_{12}) \approx j_{12}(1 + f\sigma_{12})/(1 + g_1\sigma_{12} + g_2\sigma_{12}^2), \quad (35)$$

где $j_{12} \approx 1.924 \text{ МВт}/\text{см}^2$, $f \approx 1720$, $g_1 \approx 9181$, $g_2 \approx 5.287 \cdot 10^6$, σ_{12} измеряется в $\text{см}^2 \cdot \text{пс}^{-1} \cdot \text{МВт}^{-1}$. При увеличении σ_{12} от $3 \cdot 10^{-4}$ до $1.5 \cdot 10^{-2} \text{ см}^2 \cdot \text{пс}^{-1} \cdot \text{МВт}^{-1}$ величина j_{th} уменьшается от 1.6 до 0.05 $\text{МВт}/\text{см}^2$. При $\sigma_{12} \gtrsim 10^{-2} \text{ см}^2 \cdot \text{пс}^{-1} \cdot \text{МВт}^{-1}$, т. е. в случае, когда поглощение на переходах между первой и второй подзонами близко к резонансному, система уравнений (30) нуждается в соответствующей модификации. Причина отмеченного несовпадения результатов [15, 16] и настоящей работы заключается в том, что в [15, 16] на переходе $1 \rightarrow 2$ идет поглощение света из основного состояния, а в данной работе — из возбужденного, тогда как поглощение из основного состояния идет на переходах $v \rightarrow 1$. Величина j_{th} , как мы видели, действительно слабо зависит от сечений $\sigma_{v1}^{(1,2)}$.

Времена же установления равновесия τ_{eq} возрастают с уменьшением $\sigma_{v1}^{(1,2)}$, аналогично тому как в ситуации, рассмотренной в [15, 16], они возрастают с уменьшением σ_{12} (см. для сравнения формулу (1)). На рис. 6 видно, что в случае двухфотонных переходов $v \rightarrow 1$ значения τ_{eq} оказываются на 1–2 и более (при $j \approx j_{th}$) порядков выше, чем в случае одиночных фотонных переходов. Это связано с неравенством $\sigma_{v1}^{(1)} \gg \sigma_{v1}^{(2)} j_{th}$.

Рассмотрим для сравнения чисто каскадную схему возбуждения ЭДП. Для этого исключим оже-переходы $31 \rightarrow 22$ и $3v \rightarrow 11$, но будем считать переходы между подзонами 1 и 2 резонансными, т. е. увеличим сечение σ_{12} на 3 порядка, оставляя значения остальных параметров неизменными. Тогда при $j > j_{th}$ заселенности $n_{1,2,3}$ и n_c окажутся на много порядков (при $j = 200 \text{ кВт}/\text{см}^2$ — на 7 порядков) меньше, чем в каскадно-лавинной схеме.

Примером гетероструктуры типа II с глубокими квантовыми ямами могут служить системы $\text{In}_{0.53}\text{Ga}_{0.47}\text{As}$ (область A)/ $\text{AlAs}_{0.56}\text{Sb}_{0.54}$ [34, 35] (зонные параметры этой системы близки к использу-

зованным в данном расчете) либо $\text{In}_{0.3}\text{Ga}_{0.7}\text{As}$ (область A)/ AlAs (область B) [36].

8. ЗАКЛЮЧЕНИЕ

Проведенный в работе анализ показал, что при облучении гетероструктуры типа II с глубокими квантовыми ямами ИК-светом с частотой, резонансной переходу между второй и третьей подзонами размерного квантования, возникает эффект фотонной лавины. Эффект носит пороговый характер, причем пороговые интенсивности ИК-света оказываются относительно невысокими (порядка $10\text{--}100 \text{ кВт}/\text{см}^2$). При интенсивностях выше пороговых генерируется значительное число электрон-дырочных пар и, соответственно, появляется фотопроводимость в направлении оси ростаnanoструктуры и рекомбинационная фотолюминесценции с длиной волны в 3–5 раз меньшей длины волны возбуждающего света. Времена установления квазиравновесных заселенностей в электронной системе в зависимости от условий накачки могут лежать в nano- и пикосекундном диапазонах. Эти времена резко увеличиваются при интенсивностях накачки, близких к пороговым.

Работа выполнена при финансовой поддержке РФФИ (гранты 01-02-17060, 02-02-17311, 00-02-016337), а также в рамках программы «Физика твердотельных nanoструктур-5».

ЛИТЕРАТУРА

1. Б. Г. Горшков, А. С. Епифанов, А. А. Маненков и др., Труды ИОФ АН СССР **4**, 99 (1986).
2. Е. Ю. Перлин, А. В. Федоров, М. Б. Кашевник, ЖЭТФ **85**, 1357 (1983).
3. А. М. Данишевский, Е. Ю. Перлин, А. В. Федоров, ЖЭТФ **93**, 1319 (1987).
4. Е. Ю. Перлин, Опт. и спектр. **82**, 259 (1997).
5. С. Д. Ганичев, Е. Л. Ивченко, Е. Ю. Перлин и др., ЖЭТФ **91**, 1233 (1986).
6. H. Minasian and S. Avetisyan, Phys. Rev. B **34**, 963 (1986).
7. Е. Ю. Перлин, А. В. Иванов, Опт. и спектр. **87**, 42 (1999).
8. J. S. Chivian, W. E. Case, and D. D. Eden, Appl. Phys. Lett. **35**, 124 (1979).

9. A. W. Kueny, W. E. Case, and M. E. Koch, J. Opt. Soc. Amer. B **6**, 639 (1989).
10. A. W. Kueny, W. E. Case, and M. E. Koch, J. Opt. Soc. Amer. B **10**, 1834 (1993).
11. S. Guy, M.-F. Joubert, and B. Jacquier, Phys. Rev. B **55**, 8240 (1997).
12. M.-F. Joubert, Opt. Mater. **11**, 181 (1999).
13. M. P. Hehlen, A. Kuditcher, A. L. Lenef et al., Phys. Rev. B **61**, 1116 (2000).
14. Е. Ю. Перлин, А. М. Ткачук, М.-Ф. Joubert et al., Опт. и спектр. **90**, 772 (2001).
15. Е. Ю. Перлин, Опт. и спектр. **5**, 777 (2001).
16. Е. Yu. Perlin, J. Luminescence **94–95**, 249 (2001).
17. K. Huang and B. Zhu, Phys. Rev. B **38**, 13377 (1988).
18. M. H. Degani and O. Hipolito, Phys. Rev. B **35**, 7717 (1987).
19. R. Lassnig, Phys. Rev. B **30**, 7132 (1984).
20. T. Tsuchia and T. Ando, Phys. Rev. B **47**, 7240 (1993).
21. B. K. Ridley, Phys. Rev. B **37**, 4583 (1988).
22. B. K. Ridley, Phys. Rev. B **39**, 5282 (1989).
23. B. K. Ridley, Phys. Rev. B **47**, 4592 (1993).
24. H. Rücker, E. Molinari, and P. Lugli, Phys. Rev. B **44**, 3463 (1991).
25. K. J. Nash, Phys. Rev. B **46**, 7723 (1992).
26. C. Trallero-Giner and F. Comas, Phys. Rev. B **37**, 4583 (1988).
27. C. Trallero-Giner, F. Comas, and F. Garsia-Moliner, Phys. Rev. B **50**, 1755 (1994).
28. J. L. Gondar, F. Comas, and F. Castro, Physica B **292**, 354 (2000).
29. B.-F. Levine, J. Appl. Phys. **74**, R1 (1993).
30. T. Ando, A. B. Fowler, and F. Stern, Rev. Mod. Phys. **54**, 437 (1982).
31. M. O. Manafresh, F. Szmulowicz, T. Vaughan et al., Phys. Rev. B **43**, 9996 (1991).
32. S. Schmitt-Rink, D. S. Shemla, and D. A. B. Miller, Adv. Phys. **38**, 89 (1989).
33. Е. Ю. Перлин, ЖЭТФ **105**, 98 (1994).
34. A. Neogi, T. Mozume, H. Yoshida et al., IEEE Photon. Technol. Lett. **11**, 632 (1999).
35. A. Neogi, H. Yoshida, T. Mozume et al., Physica E **7**, 183 (2000).
36. C. P. Garcia, A. De Nardis, V. Pellegrini et al., Appl. Phys. Lett. **77**, 3767 (2000).